

Starkniederschlagshöhen und -spenden gemäß KOSTRA-DWD-2010R

Auswertungszeitraum von 1951 - 2010, Januar - Dezember

Rasterfeld: 18052

Zeile: 18

Spalte: 52

Seite: 1/2

| Dauerstufe D | Wiederkehrzeit T | | | | | | | | | | | | | | | | | | |
|--------------|------------------|------|------------|------|------------|------|------------|------|------------|------|------------|------|------------|------|------------|------|------------|------|------------|
| | 1 a | | 2 a | | 3 a | | 5 a | | 10 a | | 20 a | | 30 a | | 50 a | | 100 a | | |
| min | Std | mm | l / (s ha) | mm | l / (s ha) | mm | l / (s ha) | mm | l / (s ha) | mm | l / (s ha) | mm | l / (s ha) | mm | l / (s ha) | mm | l / (s ha) | mm | l / (s ha) |
| 5 | | 4,6 | 153,3 | 5,7 | 190,0 | 6,4 | 213,3 | 7,3 | 243,3 | 8,4 | 280,0 | 9,6 | 320,0 | 10,2 | 340,0 | 11,1 | 370,0 | 12,2 | 406,7 |
| 10 | | 7,3 | 121,7 | 9,0 | 150,0 | 10,0 | 166,7 | 11,2 | 186,7 | 12,9 | 215,0 | 14,6 | 243,3 | 15,6 | 260,0 | 16,8 | 280,0 | 18,5 | 308,3 |
| 15 | | 9,1 | 101,1 | 11,2 | 124,4 | 12,4 | 137,8 | 14,0 | 155,6 | 16,1 | 178,9 | 18,2 | 202,2 | 19,4 | 215,6 | 21,0 | 233,3 | 23,1 | 256,7 |
| 20 | | 10,4 | 86,7 | 12,8 | 106,7 | 14,3 | 119,2 | 16,1 | 134,2 | 18,6 | 155,0 | 21,0 | 175,0 | 22,5 | 187,5 | 24,3 | 202,5 | 26,8 | 223,3 |
| 30 | | 12,1 | 67,2 | 15,1 | 83,9 | 17,0 | 94,4 | 19,2 | 106,7 | 22,3 | 123,9 | 25,4 | 141,1 | 27,2 | 151,1 | 29,5 | 163,9 | 32,6 | 181,1 |
| 45 | | 13,5 | 50,0 | 17,4 | 64,4 | 19,7 | 73,0 | 22,5 | 83,3 | 26,4 | 97,8 | 30,2 | 111,9 | 32,5 | 120,4 | 35,3 | 130,7 | 39,2 | 145,2 |
| 60 | | 14,4 | 40,0 | 18,9 | 52,5 | 21,6 | 60,0 | 24,9 | 69,2 | 29,4 | 81,7 | 34,0 | 94,4 | 36,6 | 101,7 | 40,0 | 111,1 | 44,5 | 123,6 |
| 90 | | 15,9 | 29,4 | 20,6 | 38,1 | 23,3 | 43,1 | 26,7 | 49,4 | 31,4 | 58,1 | 36,1 | 66,9 | 38,8 | 71,9 | 42,2 | 78,1 | 46,9 | 86,9 |
| 120 | 2 | 17,0 | 23,6 | 21,8 | 30,3 | 24,6 | 34,2 | 28,1 | 39,0 | 32,9 | 45,7 | 37,7 | 52,4 | 40,5 | 56,3 | 44,0 | 61,1 | 48,7 | 67,6 |
| 180 | 3 | 18,8 | 17,4 | 23,7 | 21,9 | 26,6 | 24,6 | 30,2 | 28,0 | 35,1 | 32,5 | 40,1 | 37,1 | 42,9 | 39,7 | 46,6 | 43,1 | 51,5 | 47,7 |
| 240 | 4 | 20,1 | 14,0 | 25,2 | 17,5 | 28,1 | 19,5 | 31,8 | 22,1 | 36,8 | 25,6 | 41,9 | 29,1 | 44,8 | 31,1 | 48,5 | 33,7 | 53,6 | 37,2 |
| 360 | 6 | 22,2 | 10,3 | 27,4 | 12,7 | 30,4 | 14,1 | 34,2 | 15,8 | 39,4 | 18,2 | 44,6 | 20,6 | 47,7 | 22,1 | 51,5 | 23,8 | 56,7 | 26,3 |
| 540 | 9 | 24,5 | 7,6 | 29,8 | 9,2 | 32,9 | 10,2 | 36,9 | 11,4 | 42,2 | 13,0 | 47,6 | 14,7 | 50,7 | 15,6 | 54,7 | 16,9 | 60,0 | 18,5 |
| 720 | 12 | 26,2 | 6,1 | 31,7 | 7,3 | 34,9 | 8,1 | 38,9 | 9,0 | 44,4 | 10,3 | 49,9 | 11,6 | 53,1 | 12,3 | 57,1 | 13,2 | 62,6 | 14,5 |
| 1080 | 18 | 28,9 | 4,5 | 34,6 | 5,3 | 37,9 | 5,8 | 42,0 | 6,5 | 47,7 | 7,4 | 53,3 | 8,2 | 56,6 | 8,7 | 60,8 | 9,4 | 66,4 | 10,2 |
| 1440 | 24 | 31,0 | 3,6 | 36,8 | 4,3 | 40,1 | 4,6 | 44,4 | 5,1 | 50,2 | 5,8 | 55,9 | 6,5 | 59,3 | 6,9 | 63,5 | 7,3 | 69,3 | 8,0 |
| 2880 | 48 | 35,2 | 2,0 | 41,5 | 2,4 | 45,2 | 2,6 | 49,9 | 2,9 | 56,2 | 3,3 | 62,5 | 3,6 | 66,1 | 3,8 | 70,8 | 4,1 | 77,1 | 4,5 |
| 4320 | 72 | 38,0 | 1,5 | 44,6 | 1,7 | 48,5 | 1,9 | 53,3 | 2,1 | 60,0 | 2,3 | 66,6 | 2,6 | 70,4 | 2,7 | 75,3 | 2,9 | 81,9 | 3,2 |

Angaben in mm: Bemessungsniederschlagswerte h(n)

Angaben in l / (s ha): Regenspende R(n) mit $R(n) = h(n) \times 1,666667 / D[\text{min}]$

Toleranzbereiche:

+/- 10 % für $1 \text{ a} \leq T \leq 5 \text{ a}$

+/- 15 % für $5 \text{ a} < T \leq 50 \text{ a}$

+/- 20 % für $50 \text{ a} < T \leq 100 \text{ a}$

Datenbasis: KOSTRA-DWD-2010R des Deutschen Wetterdienstes. Die Regenspende wurde auf Basis des Bemessungsniederschlags zur jeweiligen Andauer berechnet.

Für die Richtigkeit und Aktualität der Angaben wird keine Gewähr übernommen. Erstellt 07/2022.

Starkniederschlagshöhen und -spenden gemäß KOSTRA-DWD-2010R

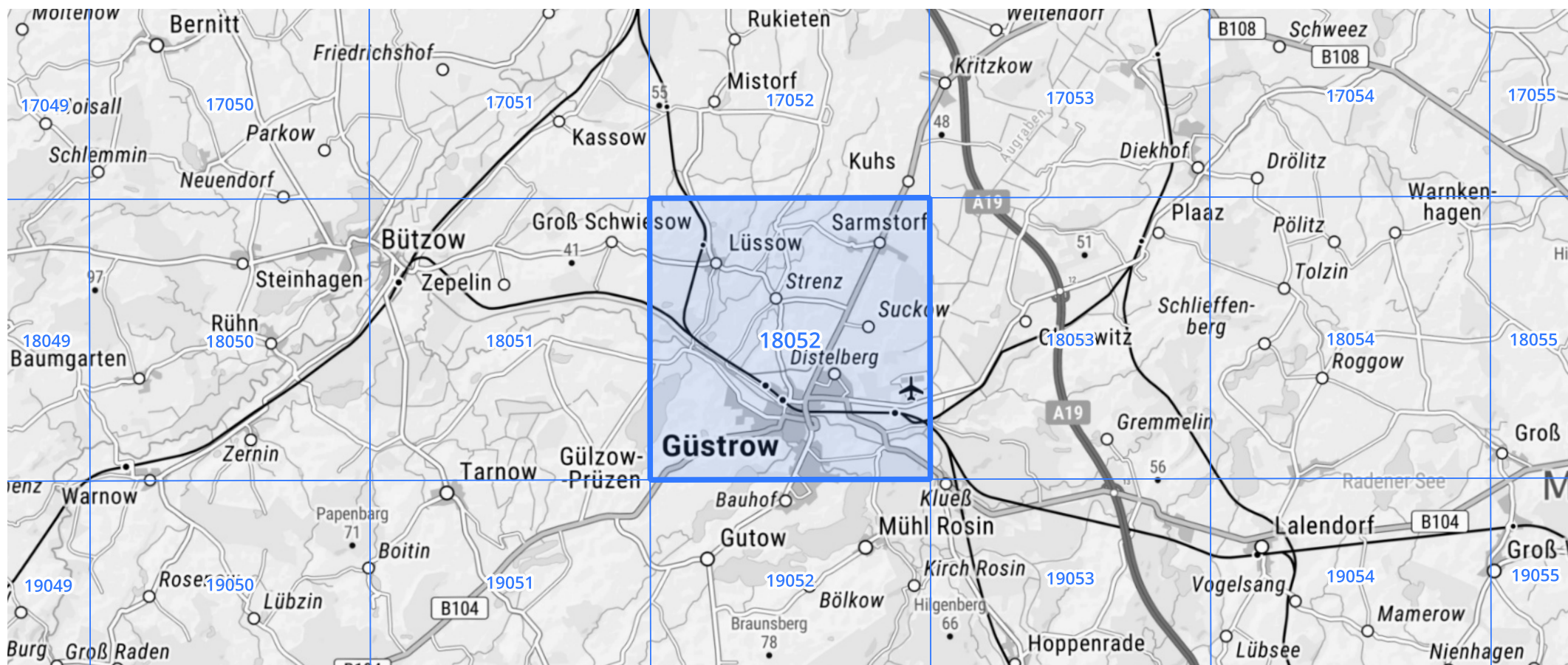
Auswertungszeitraum von 1951 - 2010, Januar - Dezember

Rasterfeld: 18052

Zeile: 18

Spalte: 52

Seite: 2/2



Quelle Rasterdaten: KOSTRA-DWD-2010R des Deutschen Wetterdienstes.

Kartendarstellung: © Bundesamt für Kartographie und Geodäsie (2022), Datenquellen: https://sgx.geodatenzentrum.de/web_public/gdz/datenquellen/Datenquellen_TopPlusOpen.html

Für die Richtigkeit und Aktualität der Angaben wird keine Gewähr übernommen. Erstellt 07/2022.